

LQR

一、LQR 线性二次型调节器

1.1 LQR 介绍

LQR(linear quadratic regulator) 线性二次型调节器, 利用现代控制理论中以状态空间矩阵形式给出的线性系统, 利用目标函数 (能量函数) $J = \frac{1}{2} \int_0^{\infty} (x^T Q x + u^T R u) dt$ (其中 Q 为半正定矩阵, R 为正定矩阵), 设计状态反馈控制器 K 使得目标函数的值最小. LQR 控制器可以在系统偏离平衡状态时, 尽可能减少消耗的能量保持系统状态各分量仍接近平衡状态. 以一维系统 $X = x(t)$ 为例, 则 $x^T Q x = Q x^2$, 为了使得 J 最小, 那么该函数一定有界, 故有下式

$$\lim_{t \rightarrow \infty} x(t) = 0 \quad (1)$$

这保证了系统的稳定性, 类似的 $u(t)$ 小保证了节省能量, 控制代价降低.

1.2 LQR 控制器原理性推导

线性系统的状态空间可以描述为

$$\begin{aligned} \dot{X} &= AX + Bu \\ Y &= CX + Du \end{aligned} \quad (2)$$

评价函数为

$$J = \frac{1}{2} \int_0^{\infty} (x^T Q x + u^T R u) dt \quad (3)$$

Q 分别是对状态变量和输入量的加权矩阵, 确定误差和能量损耗的相对性. 根据极小值原理, 引入 n 维协态矢量 $\lambda(t)$, 构造哈密顿函数

$$H(x, u, \lambda) = \frac{1}{2} [x^T Q x + u^T R u] + \lambda^T [Ax + Bu] \quad (4)$$

最优控制使得 H 取极值, 即

$$\frac{\partial H}{\partial u} = Ru + B^T \lambda = 0 \quad (5)$$

解得

$$u = -R^{-1} B^T \lambda \quad (6)$$

又有

$$\frac{\partial^2 H}{\partial u^2} = R \quad (7)$$

R 正定, 故上式为系统的最优控制律.

设 $\lambda = Px$, P 为 n 阶实对称正定矩阵, 且满足黎卡提矩阵代数方程

$$-PA - A^T P + PBR^{-1}B^T - Q_1 = 0 \quad (8)$$

则最优控制

$$u = -R^{-1}B^T \lambda = -Kx \quad (9)$$

系统最优轨线为

$$\dot{x}(t) = (A - BK)x(t) \quad (10)$$

在 *matlab* 中可以利用 *lqr* 函数求得反馈矩阵 *K*.

1.3 LQR 的系统能控性和能观性分析

对于上面假设的线性系统，状态完全能控制的充要条件是

$$\text{rank}[B, AB, A^2B, \dots, A^{n-1}B] = n \quad (11)$$

系统状态能够完全观测的充要条件是

$$\text{rank} \begin{bmatrix} C \\ CA \\ CA^2 \\ \vdots \\ CA^{n-1} \end{bmatrix} = n \quad (12)$$

1.4 小车系统权重的选取以及能控性能观性分析

前面得到小车的状态空间方程为

$$\begin{bmatrix} \dot{x} \\ \ddot{x} \\ \dot{\varphi} \\ \ddot{\varphi} \end{bmatrix} = \begin{bmatrix} 0 & 1 & 0 & 0 \\ 0 & 0 & 0 & 0 \\ 0 & 0 & 0 & 1 \\ 0 & 0 & 29.4 & 0 \end{bmatrix} \begin{bmatrix} x \\ \dot{x} \\ \varphi \\ \dot{\varphi} \end{bmatrix} + \begin{bmatrix} 0 \\ 1 \\ 0 \\ 3 \end{bmatrix} u' \quad (13)$$

$$\begin{bmatrix} x \\ \varphi \end{bmatrix} = \begin{bmatrix} 1 & 0 & 0 & 0 \\ 0 & 0 & 1 & 0 \end{bmatrix} \begin{bmatrix} x \\ \dot{x} \\ \varphi \\ \dot{\varphi} \end{bmatrix} + \begin{bmatrix} 0 \\ 0 \end{bmatrix} u'$$

在 *matlab* 中 (代码见附录) 进行矩阵秩计算可知两个判定矩阵的秩都是 4, 则小车倒立摆系统可控可观测.

1.5 小车倒立摆仿真

首先根据系统的运动微分方程在 *matlab* 中的 *simulink* 进行仿真, 由上述矩阵导出参考方程, 为方便, 将一些量名称更改如下

$$\begin{aligned}\dot{x} &\rightarrow \dot{x}_1 \\ \ddot{x} &\rightarrow \dot{x}_2 \\ \dot{\varphi} &\rightarrow \dot{x}_3 \\ \ddot{\varphi} &\rightarrow \dot{x}_4\end{aligned}\tag{14}$$

则有

$$\begin{aligned}\dot{x}_1 &= x_2 \\ \dot{x}_2 &= u \\ \dot{x}_3 &= x_4 \\ \dot{x}_4 &= 29.4x_3 + 3u \\ u &= -k_1x_1 - k_2x_2 - k_3x_3 - k_4x_4\end{aligned}\tag{15}$$

得到如图 1 的仿真

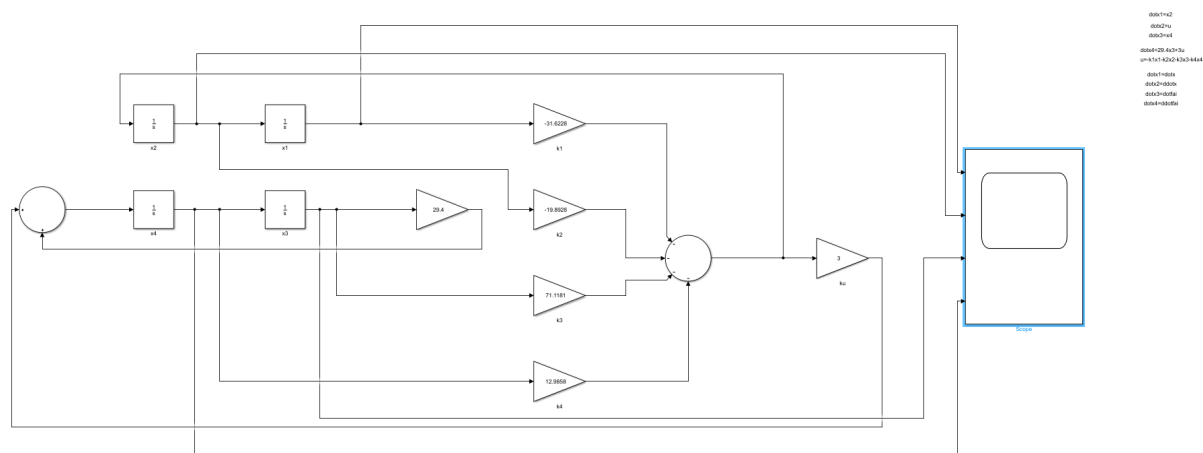


图 1 *LQRsimulink*

这种仿真可以通过给定 x_i 的初始值来模拟脉冲激励

给定小车 5 单位位移, 摆杆 5 单位角度, 可以得到如图 3 的响应曲线.

可以发现系统可以稳定. 关于修改权重以及关于曲线的比较分析在后面介绍.

此外也可以利用编程来模拟仿真, 以 *lsim* 函数模拟的阶跃信号为例, 编写代码 (见附件) 也可以得到响应曲线如图 4

1.6 修改权重分析比较

依次修改 $Q_{11}Q_{22}Q_{33}Q_{44}$ 权重 (值见图片), 建立如图 5 的仿真

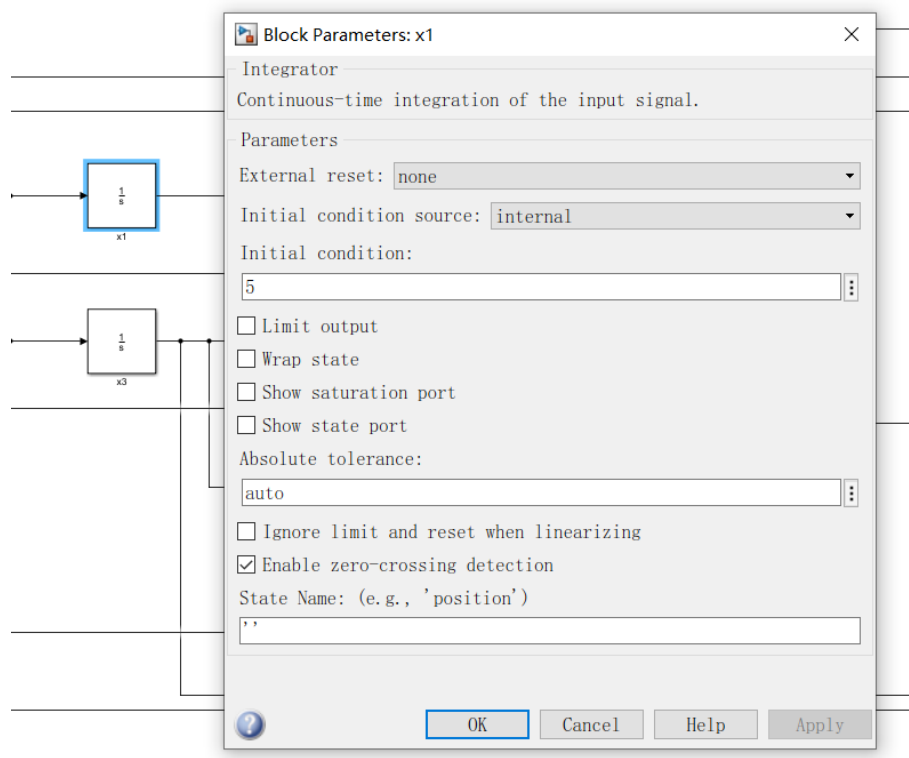


图 2 模拟脉冲激励

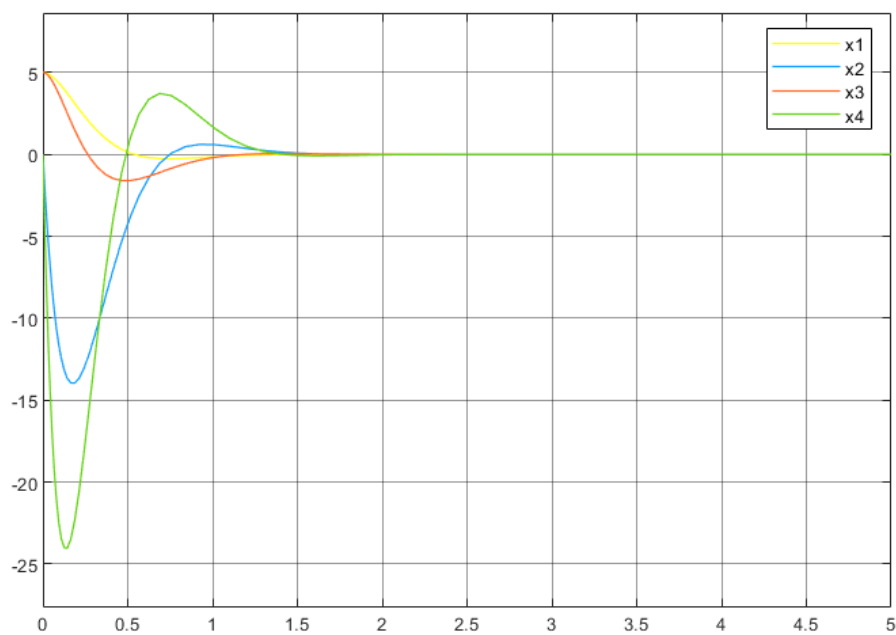


图 3 脉冲激励仿真结果

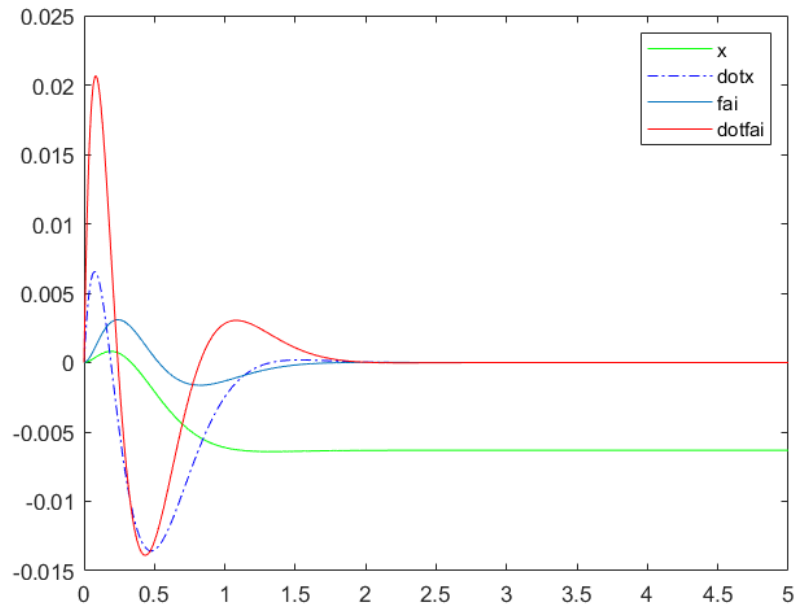


图 4 阶跃激励仿真结果

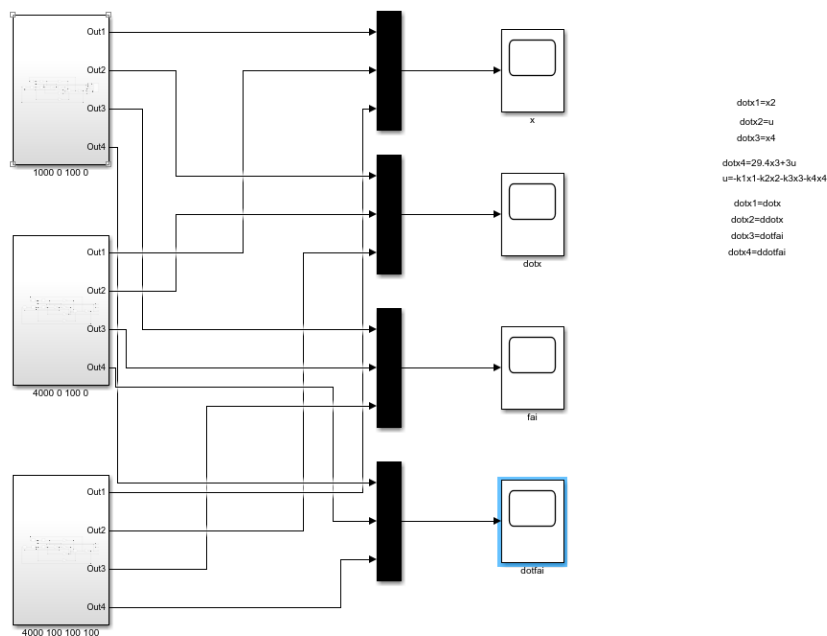


图 5 比较仿真

观察比较仿真结果如图 6

不难发现这三组数据都可以保证小车和摆杆的稳定性，都可以比较快速的达到稳定状态，区别就是随着权重的增大，控制目标变量可以更快的达到稳定，并且超调量变小，但是权重的变大意味着输入的能耗增加（如图 7），不是最经济的选择。

因此，在可以快速的稳定这个前提下，应该尽可能减小权重值。最终我们选定 $Q_{11} =$

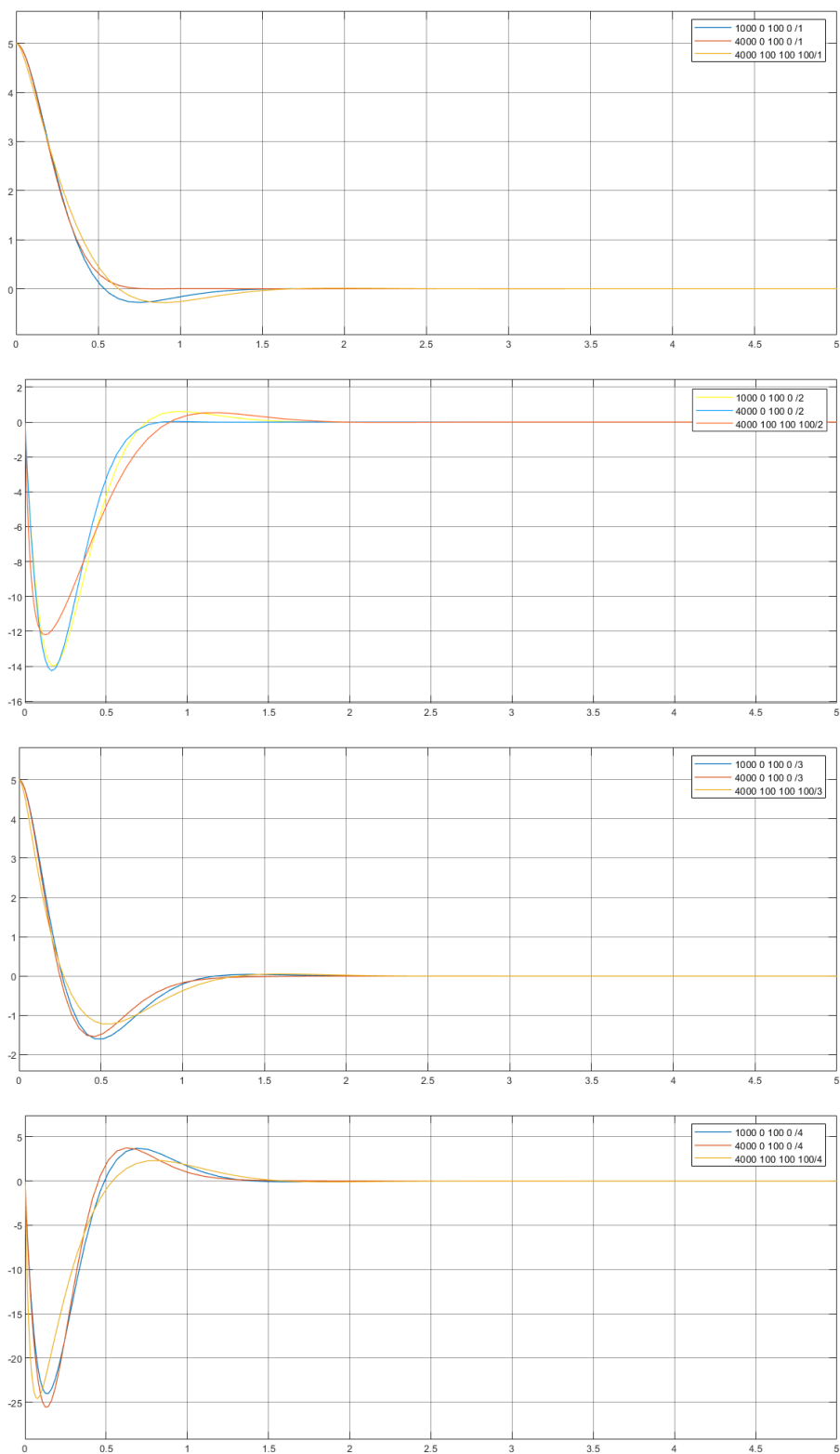


图 6 数据比较

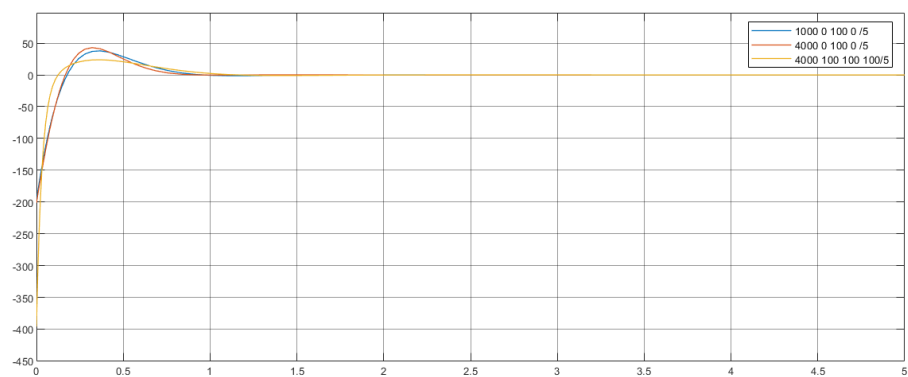


图 7 u

1000, $Q_{33} = 100$ 这个权重值，其对应 K 矩阵为

$$K = \begin{bmatrix} -31.6228 \\ -19.8928 \\ -71.1181 \\ 12.9858 \end{bmatrix} \quad (16)$$

附 录

%系统能控性与能观性判定

```
A=[0 1 0 0;  
    0 0 0 0;  
    0 0 0 1;  
    0 0 29.4 0];  
B=[0 1 0 3]';  
C=[1 0 0 0;  
    0 0 0 1];  
D=[0 0]';  
Co=ctrb(A,B);  
rank(Co)  
Ob=obsv(A,C);  
rank(Ob)
```

%模拟阶跃信号

```
A=[0 1 0 0;0 0 0 0;0 0 0 1;0 0 29.4 0];  
B=[0 1 0 3]';  
C=[1 0 0 0;0 0 1 0];  
D=[0 0]';  
Q11=1000;  
Q33=100;%该值可以更改  
Q=[Q11 0 0 0;0 0 0 0;0 0 Q33 0;0 0 0 0];  
R=1;  
K=lqr(A,B,Q,R);  
Ac=(A-B*K);  
T=0:0.001:5;  
U=0.2*ones(size(T));  
[Y,X]=lsim(Ac,B,C,D,U,T);%模拟阶跃输入  
plot(T,X(:,1),'-g','LineWidth',1);  
hold on;  
plot(T,X(:,2),'-.b','LineWidth',1);  
plot(T,X(:,3),'-','LineWidth',1);  
plot(T,X(:,4),'-r','LineWidth',1);  
hold off;  
legend('x','dotx','fai','dotfai');
```